



České
vysoké
učení technické
v Praze

F3

Fakulta elektrotechnická
Katedra telekomunikační techniky

Bezdrátová senzorová síť pro přístupový systém

Tomáš Hyhlík

Vedoucí: Ing. Bc. Marek Neruda, Ph.D
Školitel–specialista: Ing. Bc. Lukáš Vojtěch, Ph.D
Obor: Elektronika a komunikace
Studijní program: Elektronika
Říjen 2019

Poděkování **Prohlášení**

Abstrakt

todo

Klíčová slova: Access control system,
LoRa, LPWAN, WSN.

Vedoucí: Ing. Bc. Marek Neruda, Ph.D

Abstract

Keywords: Access control system,
LoRa, LPWAN, WSN.

Title translation: Wireless sensor
network for access control system

Obsah	Practical part
0.1 Seznam zkratek 1	
1 Úvod 3	4 Návrh WSN 16
Část I Theoretical part	
2 Architektury přístupových systémů 7	4.1 Návrh integrace WSN gatewaye do stávající infrastruktury přístupového systému 16
3 Výběr bezdrátové technologie pro senzorovou síť 9	4.2 Protokol CKP v síti RS485 pro komunikaci s kontrolním panelem . 18
3.1 Hlavní kritéria pro výběr bezdrátové technologie 9	4.3 Sestavení HW k vytvoření prototypu gatewaye k testování ... 19
3.2 Kandidátní bezdrátové technologie 10	4.3.1 Zapojení 19
3.2.1 IQRF 10	4.4 Použité vývojové nástroje k vytvoření FW 21
3.2.2 Wireless M-Bus 10	4.5 Návrh FW gatewaye 21
3.2.3 LoRa 10	4.5.1 Komunikace přes sériovou linku USB 24
3.2.4 Zigbee 11	4.6 Log Gatewaye 25
3.2.5 BLE 11	4.7 Konfigurace gatewaye 25
3.3 Vybraná přenosová technologie . 12	4.8 Podpora koncových zařízení 29
	4.9 Přidávání koncových zařízení ze serveru řízení přístupu..... 30
	4.10 Návrh WSN gatewaye verze 2 . 31
Část II	

5 Testování navrženého řešení	33
6 Závěr	37
Literatura	38

Obrázky

Tabulky

3.1 Souhrn porovnání parametrů kandidátní bezdrátových technologií	12
4.1 Vlastnosti mikrokontroléru STM32L073RZ [41]	19
4.2 Pinout připojení periférií k mikrokontroléru	20
4.3 Rozdělení programu na nezávislé podprogramy	22
4.4 Dodatečné pomocné podprogramy	22
4.5 Parametry ukládány do non-volatile paměti gatewaye	23
4.6 Parametry sériové linky PC terminálu pro komunikaci s gatewayí	24
4.7 Defaultní konfigurace systému ..	29
4.8 Typy koncových zařízení	29
5.1 Frekvenční analýza délky paketu	34
5.2 Maximální počet připojených koncových zařízení v senzorové síti souběžně odesílající data skrze síť RS485 s určitou rezervou	36

0.1 Seznam zkratek

AES	Advanced Encryption Standard
AI	Artifical Inteligence
AppSKey	Application Session Key
ASCII	American Standard Code for Information Interchange
BLE	Bluetooth Low Energy
CMAC	Cipher-based message authentication code
CMSIS	Cortex Microcontroller Software Interface Standard
CPU	Central Processing Unit
CR	Carriage Return
CRC	Cyclic Redundancy Check
EEPROM	Electrically Erasable Programmable Read-Only Memory
FIFO	First In First Out
GPIO	General Purpose Input Output
HAL	Hardware Abstraction Layer
HW	HardWare
IDE	Integrated Development Environment
IoT	Internet of Things
ISM	Industrial, scientific and medical
IWDG	Independent Watchdog
LAN	Local Area Network
LBT	Listen Before Talk
LF	Line Feed
LPWAN	Low Power Wide Area Network
LPWSN	Low Power Wireless Sensor Network
MCU	Micro Controller Unit
NwkSKey	Network Session Key
PC	Personal Computer

PCB	Printed Circuit Board
RF	Radio Frequency
RTOS	Real Time Operating System
SDK	Software development kit
SF	Spreading Factor
SPI	Serial Peripheral Interface
UART	Universal Asynchronous Receiver Transmitter
USB	Universal Serial Bus
WSN	Wireless Sensor Network

Kapitola 1

Úvod

The demands and use cases of Internet of Things (IoT) applications including security, asset tracking, agriculture, smart metering, smart cities, and smart homes as well as the growth of IoT wireless technologies, which require long range, low power consumption, low data rate and low cost are recently increased.

Short-range IoT applications like smart homes are broadly based on Zigbee or Bluetooth technologies that use the 2.4 GHz ISM band [1], [2]. Long-range IoT applications are typically based on a special kind of wireless technology called Low Power Wide Area Network (LPWAN) [1114]. Many LPWAN wireless communication technologies appeared during its evolution with unlicensed ISM band, e.g., LoRa and SigFox and licensed band, e.g., NarrowBand-Internet of Things (NB-IoT) and Long Term Evolution-Machine Type Communication (LTE-M). The LPWAN technologies aim to have range up to 10–15 km in rural areas and 2–5 km in urban areas [1115] and can have one of the following topologies: star (centralized), star of stars (decentralized) and mesh (distributed) [1111]. Very low power consumption should allow sensor nodes a very long battery life, even greater than 10 years. The low cost of hardware (HW) is achieved by fully integrated transceivers and minimized number of off-chip components [1113].

The industry of IoT is growing because of its enormous potential. Cisco study [1112] says IoT will be combined with other technologies such as artificial intelligence (AI), fog computing and blockchain. Such a combination of technologies will provide greater value of investment for companies. IoT applications in smart cities require a scalable network coverage. This can be achieved by interconnection of multiple gateways as proposed in [8], where all gateways are connected to web server accessible via the Internet. It aims to manage urban street lighting and the implementation of smart metering is also considered as a future work. Similar application is proposed in paper

[1] which focuses on assisted real-time automatic meter reading (AMR) in cities, but the scalable range is established by mesh network topology. The IoT applications in a smart buildings concept can be proposed as shown in [2], where nodes exchange data with the cloud via a Wi-Fi router or Bluetooth gateway connected to the Internet. Similar application is proposed in [9] where nodes are controlled by a master node via Zigbee network that is connected to a PC via RS232. Basic smart metering systems can be proposed with a gateway connected to a PC where the data are processed as proposed in [10], [11] and [1117]. A long-range metering system can be established by multiple gateways connected to a network server from which data are obtained by the application server [13]. Similar network is proposed in Smart Farm application [1116] with the difference that nodes can also be connected to the gateway via RS485 which forms a hybrid wired /wireless system.

This paper proposes to extend the access control system to include a low power Wireless Sensor Network (WSN) which can be used for smart metering applications, smart building applications and the building surroundings which is related to smart city applications. The WSN gateway is connected by the same way as a card reader is connected in the access control system, therefore it also has to support the same protocol. This can lead to complications since the reader is meant to transmit a short packets with user ID when the user's credential is attached to it. The WSN gateway is designed and tested in access control system of one university floor. The results show the infrastructure of access control system can manage up to thousands sensor nodes in dependence on used RS485 data rate.

Část I

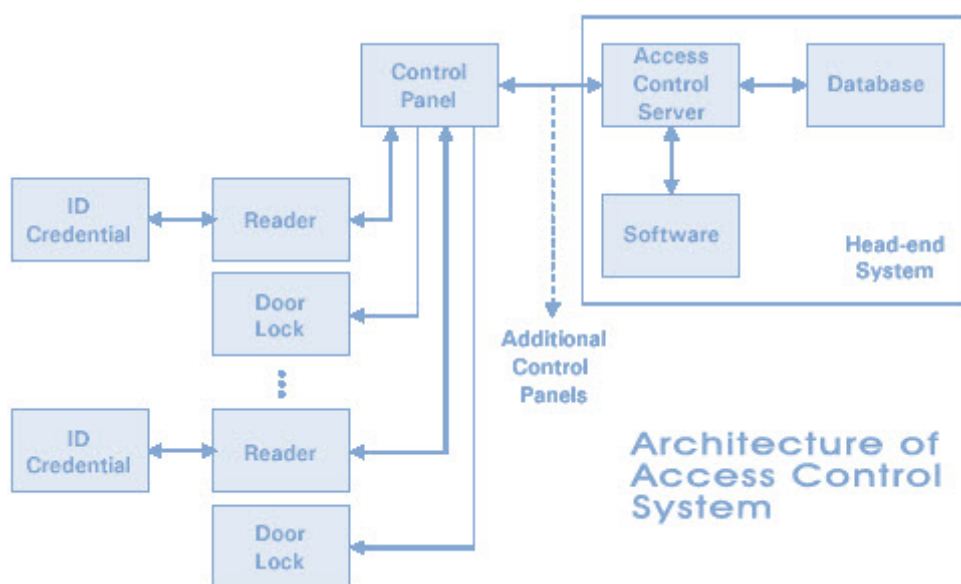
Theoretical part

Kapitola 2

Architektury přístupových systémů

Přístupové systémy jsou elektronické systémy řídící přístup uživatelů do omezených prostor v závislosti na jejich prokázané identitě. Běžně se s přístupovými systémy setkáváme zejména v kancelářních budovách, ale i nemocnicích, školách, úřadech apod. Kromě řízení přístupu uživatelů do vybraných prostor přístupový systém umožňuje i zaznamenávat příchody a odchody uživatelů, tudíž je možné ho zároveň využít jako docházkový systém. Tato kapitola osvětluje architekturu obecného přístupového systému jelikož se tato práce zabývá připojením senzorové sítě k infrastruktuře přístupového systému.

Obrázek 2.1 zobrazuje typickou architekturu přístupového systému, kde identifikátor (ID Credential) představuje prvek umožňující identifikovat uživatele, např. RFID tag, otisk prstu nebo QR kód. Čtečka (Reader) slouží ke čtení dat z identifikátoru a v digitální podobě je odesílá k zařízení kontrolní panel (Control Panel). Zámek dveří (Door Lock) řídí fyzický přístup uživatelů do omezených prostor. Kontrolní panel tvoří rozhraní mezi serverem řízení přístupu (Access Control Server) a páry čteček a zámků dveří. kontrolní panely jsou obvykle připojeny k serveru řízení přístupu přes TCP/IP síť a páry čtečka a zámků dveří jsou obvykle připojeny ke kontrolnímu panelu přes RS485 síť. Databáze obsahuje všechna uživatelské ID. Na serveru řízení přístupu je spuštěn Software (SW) spravující databázi a komunikující se všemi zařízeními typu Contril Panel. Čtečka čte uživatelská ID z předložených identifikátorů a přeposílá je na kontrolní panel, který je dále přeposílá na server řízení přístupu. Access Control Software vyhledá obdržený uživatelský identifikátor v databázi a pokud je nalezen, pošle příkaz odpovídajícímu kontrolnímu panelu k přepnutí odpovídajícímu zámku dveří, čímž je uživateli udělen přístup do omezené oblasti [1110].



Obrázek 2.1: Příklad architektury přístupového systému [1110]

Kapitola 3

Výběr bezdrátové technologie pro senzorovou síť

Tato kapitola porovnává dostupné bezdrátové technologie vhodné pro tento vybraný případ senzorové sítě a na závěr vysvětluje která technologie byla nakonec ~~výbrána~~vybrána a z jakých důvodů.

3.1 Hlavní kritéria pro výběr bezdrátové technologie

Navržená senzorová síť má být připojena do infrastruktury přístupového systému, který je již zaveden v několika budovách. Jejím účelem je bezdrátové měření veličin např. teplota, vlhkost, CO₂, pomocí koncových zařízení sítě, která vydrží několik let napájena z baterie při periodě měření několik minut rozmístěných v budově a jejím okolí. Pro jednoduchost implementace vybraná bezdrátová technologie tedy musí používat pouze bezlicenční pásmo ISM a musí umožňovat implementaci celé sítě bez závislosti na ~~sítí~~sítí třetích stran. Dosah by tedy měl být pro pokrytí celé budovy a jejího okolí, ale je zde i možnost napojení více gatewayů rozmístěných po budově k dosažení požadovaného dosahu. Níže jsou vypsány hlavní kritéria pro výběr bezdrátové technologie pro tuto senzorovou síť.

- Nízká cena HW
- Jednoduché připojení koncových zařízení třetích stran (Third party)
- Velký počet dostupných koncových zařízení třetích stran na trhu
- Jednoduchá implementace
- Nízká spotřeba energie koncových zařízení

3.2 Kandidátní bezdrátové technologie

V této sekci jsou rozebrány dostupné bezdrátové technologie, které jsou běžně používány pro bezdrátové měření zařízeními napájenými z baterie a vyhovují stanoveným kritériím vypsaných výše.

3.2.1 IQRF

IQRF je technologie podporována IQRF aliancí [20], která je jediným výrobcem IQRF transceiveru [19] za cenu v rozsahu \$15-20 za kus a k tomu poskytuje nástroje jako je SDK (Software Development Kit) [18] a IDE (Integrated Development Environment) [17]. Technologie IQRF bývá použita k realizaci sítí o topologii typu mesh nebo hvězdice. Jedna síť má jednoho koordinátora, který slouží jako gateway a může obsahovat až 240 zařízení (včetně koordinátora). Pro požadavek vyššího počtu zařízení je efektivnější zřetězit více sítí, s jednotlivými koordinátory a různými RF kanály pro vyšší propustnost. Dosah na přímou viditelnost je až 500 m a velikost datového obsahu (payloadu) jednoho paketu může být až 64 B. Většinou je tato technologie použita pro realizaci uživatelsé sítě, kde gateway je použita jedna z dostupných od IQRF aliance a koncová zařízení sítě jsou vytvořena vývojáři s použitím transceiverů od IQRF aliance [21].

3.2.2 Wireless M-Bus

Wireless M-Bus (Meter-Bus) je standard specifikovaný v evropské normě EN 13757 [22], popisující fyzickou, síťovou a aplikační vrstvu, původně navržen pro aplikace bezdrátového měření jako rozšíření průmyslové datové sběrnice M-Bus [23]. Po několika letech v průmyslu bezdrátových měřících systémů se tato technologie rozšířila do oblasti průmyslu senzorových sítí. Komunikace koncových zařízení je rozdělena do několika módů v závislosti na orientaci komunikace a objemu vysílaných dat [24], [25]. Wireless M-Bus síť má hvězdicovou topologii o dosahu 500 m v pásmu 868 MHz. Komunikaci vždy zahajuje koncové zařízení, které koncentrátor obsluhuje. Transceivery vyrábí více různých firem za cenu okolo \$25-30 za kus.

3.2.3 LoRa

LoRa (Long Range) je modulace navržena firmou Semtech. LoRaWAN je otevřený standardizovaný síťový protokol a systémová architektura navržen LoRa Aliancí definovný v LoRaWAN specifikaci [33] vytvářející MAC (media access control) vrstvu nad fyzickou vrstvou LoRa se zabezpečením přenášených dat. Síť má hvězdicovou topologii, kde komunikaci zahajuje koncové zařízení a koncentrátor ho obsluhuje. Pro nízkou spotřebu protokol umožňuje ladit SF (Spreading Factor) odpovídající přenosové rychlosti, pro

regulaci dosahu, který je až 15-22 km mimo městskou část a 3-8 km ve městské části [33]. V některých oblastech některé firmy poskytují pokrytí LoRaWAN sítí a proto je tato technologie velmi populární. Na trhu je mnoho koncových zařízení i gatewayů s jejichž vzájemnou kompatibilitou není problém. Gateway přeposílá přijaté pakety s daty z koncových zařízení na server, kde je datový obsah (payload) zpracován na základě dokumentace od výrobce daného koncového zařízení. Semtech je jediným výrobcem integrovaných obvodů podporujících LoRa modulaci. Na trhu je dostupných mnoha transceiverů, které používají tento integrovaný obvod, některé dokonce obsahují implementovaný LoRaWAN protokol. Transceiver pro gateway má cenu okolo \$130 a umožňuje současně přijímat pakety od koncových zařízení na více kanálech a přenosových rychlostech. Je zde i možnost udělat jednokanálovou gateway, která je schopna přijímat v jednu chvíli pouze na jednom kanále a jedné přenosové rychlosti s použitím transceiveru pro koncová zařízení za cenu okolo \$5-20. V takové síti pak musí být všechna koncová zařízení nakonfigurována na jednu konkrétní frekvenci a přenosovou rychlosť.

■ 3.2.4 Zigbee

Zigbee je specifikace navržena pro IoT aplikace, založena na standardu IEEE 802.15.4, vyvinuta Zigbee alliance [29]. Technologie Zigbee podporuje topologie mesh a hvězdice, většinou je použita topologie mesh pro rozšíření dosahu sítě, který je mezi dvěma zařízeními do 300 m na přímou viditelnost a 75 až 100 m v budově [30]. Jedna síť může obsahovat až 65000 zařízení. Dostupné transceivery na trhu se pohybují okolo \$8-30 od více různých výrobců, také je i na trhu dostupných mnoha Zigbee koncových zařízení.

■ 3.2.5 BLE

BLE (Bluetooth Low Energy) je verze Bluetooth navržena pro minimální spotřebu energie, podporující topologie point-to-point, broadcast a mesh [31]. Dosah mezi dvěma zařízeními je až 100 m [32]. Dostupné transceivery na trhu se pohybují okolo \$5-20 od více různých výrobců. Stejně tak je i na trhu mnoha dostupných koncových zařízení, ale mnohdy jsou tato koncová zařízení kompatibilní pouze se zařízení v rámci jednoho výrobce, tudíž může být problém je implementovat do vlastní senzorové sítě.

3.3 Vybraná přenosová technologie

Tabulka 3.1 shrnuje vlastnosti zmíněných technologií.

	IQRF	Wireless M-bus	LoRa	ZigBee	BLE
Topologie	mesh, star	star	star	mesh, star	Point-to-Point, Broadcast, Mesh
Max. velikost paketu	64 B	256 B	256 B	133 B	20 B (Bluetooth 4.0), 251 B (Bluetooth 4.2)
Přenosová rychlosť	19.2 kb/s	32.768 – 100 kb/s	0.3-50kb/s	250 kb/s	až 1 Mb/s
Pásмо (Evropa)	868 MHz	868 MHz	868 MHz	2.4 GHz	2.4 GHz
Dosah	500 m (line of sight)	500 m (line of sight)	15-22 km suburban, 3-8 km urban	300 m (line of sight), 75-100 m (indoor)	100 m (class 1), 10 m (class 2), less than 10 m (class 3)
Zabezp.	AES128	AES128	AES128	AES128	AES128
Max. vysílací výkon	až 8 mW	0.16–20 mW	24 mW	1-100 mW	100 mW (class 1), 5 mW (class 2), 1 mW (class 3)

Tabulka 3.1: Souhrn porovnání parametrů kandidátní bezdrátových technologií

Technologie IQRF byla zavrhnuta, jelikož je na trhu velmi málo dostupných koncových zařízení třetích stran, které bylo možné do sítě připojit. ZigBee a BLE mají příliš krátký dosah, což bylo možné vyřešit rozšířením více gateway napojených na přístupový systém nebo použitím mesh topologie, ale zvyšuje to složitost instalace a cenu řešení. Wireless M-bus a LoRa mají jako nevýhodu vysokou cenu transceiveru pro gateway. LoRa má možnost použití v jednokanálovém módu, kde gateway může použít transceiver určen pro koncová zařízení, který je víc jak desetkrát levnější a vyžaduje nižší výkon CPU (Central Processing Unit) než transceiver pro gateway, tudíž gateway v jednokanálovém módu je mnohem jednodušší a levnější řešení.

Pro tento vybraný případ senzorové sítě byla tedy vybrána technologie LoRa se standardizovaným síťovým protokolem LoRaWAN v jednokanálovém módu, jako je to používáno ve vývojových projektech [34], tudíž to není plně LoRaWAN kompatibilní. V jednokanálovém módu jsou všechna zařízení v síti nakonfigurována na jeden konkrétní kanál a SF. LoRaWAN koncová zařízení třetích stran jsou plně kompatibilní s jakoukoliv LoRaWAN gatewayí pro

3.3. Vybraná přenosová technologie

daný region, tudíž mohou být implementovány do navrženého systému v tomto projektu, ale musí být překonfigurována ke komunikaci na zvoleném kanále a přenosové rychlosti. LoRaWAN síť má hvězdicovou topologii při dostatečném dosahu pro pokrytí budovy a jejím okolí, navíc dosah lze ladit parametrem SF. Pro tento vybraný případ senzorové sítě je to vhodné, jelikož pravděpodobně všechna zařízení v síti budou senzory napájeny z baterie, a není předpokládáno, že by byly připojeny zařízení umožňující směrování paketů z důvodu spotřeby energie. LoRaWAN síť umožňuje koncovým zařízením po změření dat senzory ihned odeslat na gateway bez nutnosti čekání na potvrzení, tudíž se koncové zařízení může ihned přepnout do režimu spánku a tím eliminovat spotřebu energie. Případné občasné kolize mají za důsledek selhání doručení paketu, ale pro vybraný případ měřicího systému to nemá příliš závažný problém. Frekvenční ISM pásmo 868 MHz, které používá LoRa je limitováno na maximální dobu vysílání 1% času jedním zařízením a přenosová rychlosť této technologie patří mezi nejnižší z kandidátních technologií. Pro vybraný případ měřicího systému se předpokládá přenášení pouhých hodnot senzorů o velikosti několik jednotek až desítek bytů s intervalom několika minut až hodin. LoRaWAN protokol je zabezpečen šifrováním AES-128 na dva způsoby, a to zabezpečení aplikační pro nečitelnst přenášených dat a síťové pro zabránění útočníkům opakovat již přenesené pakety nebo odesílat falešné packety, tudíž je toto zabezpečení dostatečné.

Část II

Practical part

Kapitola 4

Návrh WSN

Tato kapitola popisuje návrh řešení rozšíření přístupového systému o senzorovou síť.

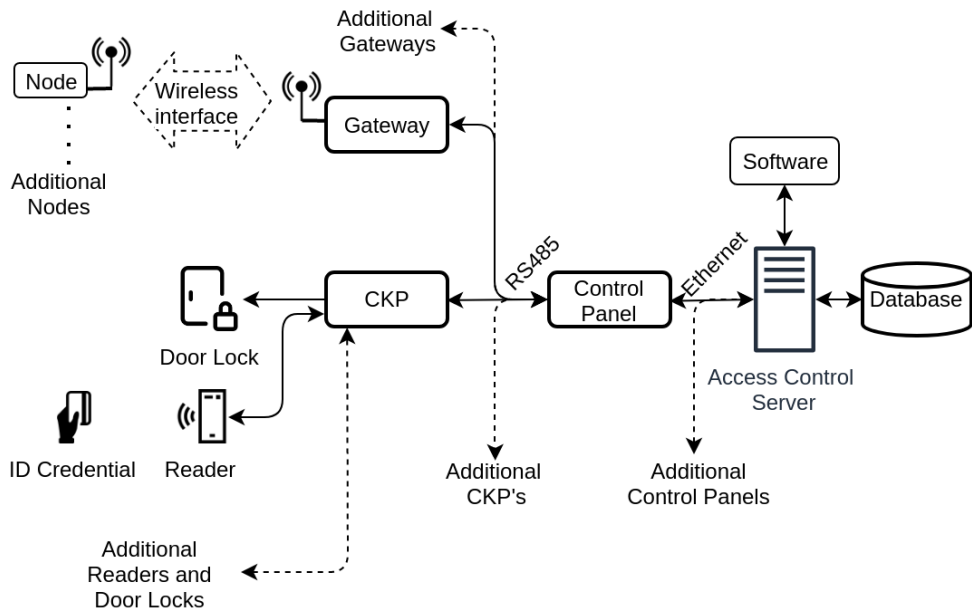
4.1 Návrh integrace WSN gatewaye do stávající infrastruktury přístupového systému

Přístupový systém k rozšíření o WSN je vytvořen firmou IMA a je komerčně distribuován. Jeho architektura se liší od všeobecné architektury zobrazené v blokovém schematu 2.1 přidáním zařízení CKP, tvořícího rozhraní mezi kontrolním panelem a čtečkou s dveřním zámkem. Přístupový systém má několik typů CKP zařízení podporujících různé typy čteček, dveřních zámků, závor, vrat a podobně, ale všechna tato CKP zařízení podporují CKP protokol v síti RS485 pro komunikaci s kontrolním panelem.

Rozšíření tohoto Přístupového systému o WSN je vytvořeno připojením WSN gatewaye ke kontrolnímu panelu přes RS485 síť stejně jako CKP zařízení. Názorná blokové schéma přístupového systému firmy IMA s implementací WSN gatewaye je zobrazeno v obrázku 4.1. V budovách, kde již je tento přístupový systém nainstalován je obvykle více kontrolních panelů, vždy jeden kontrolní panel pro několik dveří s CKP zařízeními propojenými sítí RS485. K jednomu přístupovému systému je možné připojit několik WSN gatewayí k libovolným kontrolním panelům v budově pro dosažení požadovaného pokrytí WSN.

WSN gateway tedy musí podporovat CKP protokol v síti RS485 navržen firmou IMA. Přístupový systém firmy IMA funguje tak, že CKP zařízení získává seznam všech platných karet (ID Credentials) ze serveru řízení přístupu a na základě tohoto seznamu pak CKP zařízení provádí odpovídající akci po přiložení karty ke čtečce. Je-li ke čtečce přiložena karta, jejíž číslo není

4.1. Návrh integrace WSN gatewaye do stávající infrastruktury přístupového systému



Obrázek 4.1: IMA access control system architecture with WSN extension

obsaženo v seznamu platných karet, CKP zařízení pouze signalizuje událost uživateli (např. červené bliknutí nebo pípnutí), ale zprávu o této události neodesílá na server řízení přístupu. Je-li ke čtečce přiložena karta, jejíž číslo je obsaženo v seznamu platných karet, CKP zařízení signalizuje událost uživateli (např. zelené bliknutí nebo pípnutí) a zprávu o této události odesílá na server řízení přístupu příkazem tzv. "průchod". Navržená gateway bere seznam platných karet jako seznam platných koncových zařízení senzorové sítě. Gateway pak zpracovává pakety pouze od zařízení z tohoto seznamu a ostatní ignoruje, tudíž v síti RS485 jsou přenášena pouze relevantní data. Data z koncových zařízení jsou odesílána na server řízení přístupu příkazem "průchod", který má fixní velikost a po přidání adresy koncového zařízení o velikosti 4 B zde už zbývá pouze 6 B pro data z koncového zařízení, což je velké omezení. LoRaWAN protokol používá paket, jehož samotná hlavička je o minimální velikosti 13 B. Různá LoRaWAN koncová zařízení používají různé velikosti datového obsahu (payloadu), takže není možné odesílat celý payload koncového zařízení přes síť RS485. Tento problém je řešen ta, že LoRaWAN pakety z koncových zařízení jsou dešifrovány přímo v gatewayi a konečné hodnoty senzorů jsou vypočítány z payloadu zařízení na základě dokumentace poskytnuté výrobcem [40]. Vybrané hodnoty jsou odeslány na server řízení přístupu skrze kontrolní panel.

Pro každý podporovaný typ koncového zařízení musí být implementováno zpracování datového obsahu (payloadu) ve FW (FW) gatewaye. Pozdější přidání typů koncových zařízení tedy vyžaduje update FW gatewaye. Gateway tedy má uloženou informaci o typu koncového zařízení společně s jeho LoRaWAN device address. LoRaWAN protokol je zabezpečen

šifrováním AES-128 na dva způsoby, a to zabezpečení aplikační pro nečitelnst přenášených dat a síťové pro zabránění útočníkům opakovat již přenesené pakety nebo odesílat falešné pakety. Jsou zde tedy dva AES-128 šifrovací klíče, applikační klíč AppSKey (Application Session Key) a síťový klíč NwKSKey (Network Session Key).

Jelikož adresy koncových zařízení jsou předávány gatewayi stejně jako platné karty čtečce z aplikace na serveru řízení přístupu, není zde možnost předávat dva 16 B dlouhé šifrovací klíče pro každé koncové zařízení společně s adresou zařízení. Geteway tedy má tyto dva klíče pro všechna zařízení stejné, uložené v non-volatile paměti, konfigurovatelné pouze přímo na gatewayi. V tomto návrhu není implementován opačný směr komunikace, tedy ze serveru řízení přístupu na koncové zařízení, ale je také možné implementovat pro ovládání aktuátorů, jako je relé, motor, apod.

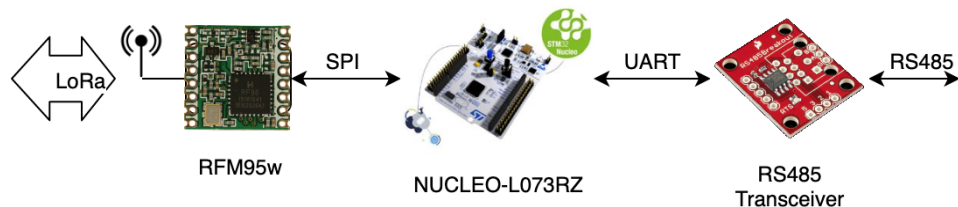
4.2 Protokol CKP v síti RS485 pro komunikaci s kontrolním panelem

CKP protokol v síti RS485 pro komunikaci s kontrolním panelem je kolizní protokol, kde všechna zařízení se řídí pravidlem LBT (Listen Before Talk), kolize jsou detekovány mechanismem kontroly integrity použitý v každém příkazu. V případě že zařízení přijme poškozený příkaz, vyžádá jeho opakování. V této síti je jedno zařízení typu master, a jedno nebo více zařízení typu slave, přičemž zařízení typu master je kontrolní panel a zařízení typu slave je jakékoliv CKP zařízení, v tomto vybraném případě gateway. Každé zařízení má svoji adresu definovanou jedním bytem, která musí být unikátní pro jednu síť a každý příkaz v této síti obsahuje v hlavičce adresu odesílatele a adresu příjemce. Zařízení typu slave má dva možné statusy, offline a online, periodicky odesílá příkaz s informací o jeho aktuálním statusu, má povolenou odesílat příkaz s daty z koncového zařízení senzorové sítě "průchod" pouze má-li status online a změnu statusu daného zařízení typu slave provádí zařízení typu master. Zařízení typu slave svůj status změní samo z online na offline v případě, že zařízení typu master přestane odpovídat na příkaz "průchod".

Je-li CKP zařízení spuštěno, má status offline a periodicky odesílá příkaz s informací o jeho statusu na kontrolní panel, který po obdržení tohoto příkazu předá seznam adres koncových zařízení senzorové sítě sekvencí několika příkazů a pak ho přepne do statusu online. V této chvíli již gateway přeposílá data z koncových zařízení senzorové sítě na kontrolní panel.

4.3 Sestavení HW k vytvoření prototypu gatewaye k testování

Pro otestování navrženého řešení rozšíření přístupového systému o senzorovou síť je sestavena gateway z vývojového kitu NUCLEO-L073RZ [41], transceiveru Dragino LoRa Shield [42] a RS485 transceiver [44], viz. obr. 4.2.



Obrázek 4.2: Gateway block diagram, RFM95w [42], RS485 transceiver [44], NUCLEO-L073RZ [41]

Vývojový kit NUCLEO-L073RZ s integrovaným mikrokontrolérem STM32L073RZ je vhodný pro vývoj kvůli jeho parametrym viz tabulka 4.1, pinoutu kompatibilním s Arduino UNO, dokumentaci a ceně (\$13 USD [41]). K vytvoření prototypu byl použit, protože splňuje všechny požadované parametry, je levný, dostatečně výkonný a jednoduchý pro vývoj. Kit obsahuje programátor ST-link pro nahrávání a debugování programu, tudíž není potřeba externí programátor během vývoje FW. LoRa transceiver RFM95w je PCB (Printed Circuit Board) s čipem SX1276. Pro tento prototyp je použit integrovaný v Dragino LoRa Shield [43], který má kompatibilní pinout s Arduino UNO, tedy i s použitým vývojovým kitem NUCLEO-L073RZ. RS485 transceiver konvertuje rozhraní RS485/UART pro umožnění komunikace s kontrolním panelem přes síť RS485.

Parametr	Informace
Microcontroller architecture	ARM Cortex-M0+ 32-bit RISC
Internal flash memory	192 kB
Internal SRAM memory	20 kB
Internal EEPROM memory	6 kB
CPU frequency	up to 32 MHz
Interfaces	2x SPI, 3x I2C, 4x UART, LIN

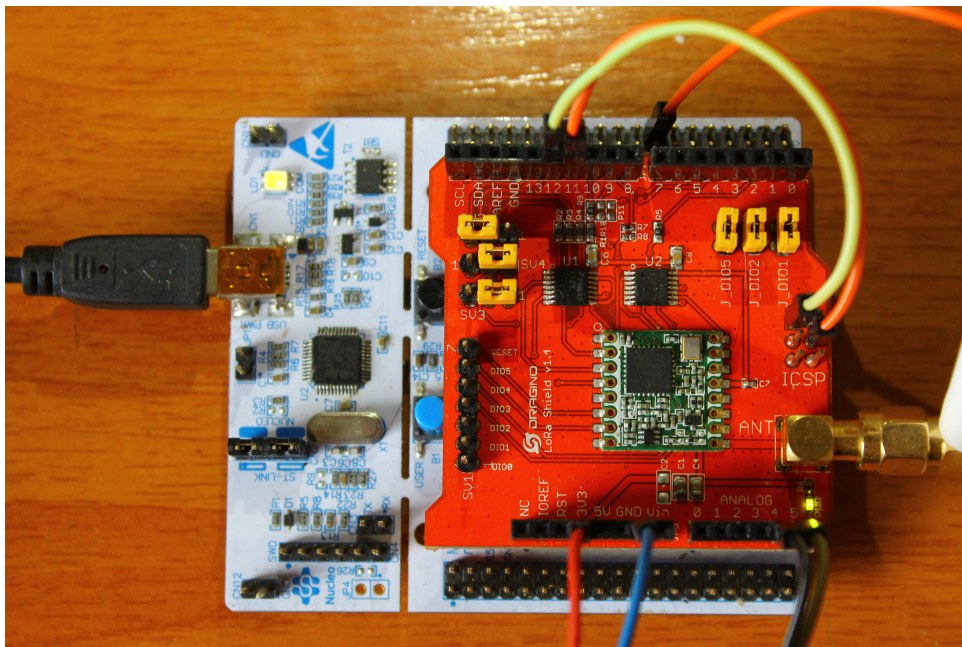
Tabulka 4.1: Vlastnosti mikrokontroléra STM32L073RZ [41]

4.3.1 Zapojení

CKP zařízení daného přístupového systému jsou obvykle napájena napětím 12 V z kontrolního panelu. Použitý kit NUCLEO-L073RZ obsahuje stabilizátor tudíž je možné připojit gateway přímo ke kontrolnímu panelu přes vyvedené svorky GND, +12V, A a B.

4.3. Sestavení HW k vytvoření prototypu gatewaye k testování

LoRa shield [43] je nasazen přímo na vývojový kit Nukleo. Kit neobsahuje ISCP konektor, který je součástí pinoutu Arduino UNO a LoRa shield má SPI piny MISO a MOSI přivedeny právě na tento konektor. Musí být tedy propojeny externě viz obrázek 4.3.



Obrázek 4.3: foto zapojení

Pro komunikaci s LoRa transceiverem je použito SPI1, pro komunikaci přes USB je použito USART2 a pro připojení RS485 transceiveru je použito LPUART1. Připojení periférií k GPIO (General Purpose Input Output) mikrokontroléru je znázorněno v tabulce 4.2.

Periférie	Název pinu	GPIO mikrokontroléru
LoRa transceiver	CS	PB6
	CLK	PA5
	MISO	PA6
	MOSI	PA7
	RST	PC7
	DIO0	PA10
RS485 transceiver	RX	PC1
	TX	PC0
	RTS	PB1
USB konektor	RX	PA3
	TX	PA2

Tabulka 4.2: Pinout připojení periférií k mikrokontroléru

4.4 Použité vývojové nástroje k vytvoření FW

Výrobce použitého mikrokontroléru STMicroelectronics poskytuje grafický nástroj STM32CubeMX [46] ke konfiguraci mikrokontrolérů STM32 a generování odpovídajícího kódu v programovacím jazyce C. Pomocí tohoto nástroje byl vygenerován kód pro předběžnou konfiguraci systémového hodinového signálu, IWDG, GPIO a rozhraní.

Kód byl vyvíjen v textovém editoru Visual Studio Code [47], kompilován kompilátorem arm-none-eabi-gcc [48] pomocí nástroje GNU make [49], výsledný binární soubor byl nahráván do procesoru pomocí nástroje st-flash [50] a debugován pomocí Visual Studio Code rozšíření Cortex-Debug [51].

4.5 Návrh FW gatewaye

Pro tento vybraný případ návrhu FW není využit RTOS (Real Time Operating System), jelikož zde není potřeba řešení více úloh souběžně. K vývoji jsou použity drivery distribuovány výrobcem mikrokontroléru, CMSIS (Cortex Microcontroller Software Interface Standard) a HAL (Hardware Abstraction Layer).

Vyvinutý program je rozdělen na několik nezávislých podprogramů viz tabulka 4.4.

Každý z těchto podprogramů je implementován ve zdrojovém souboru (source file) s koncovkou .c a hlavičkovém souboru (header file) s koncovkou .h. Pro vytvoření knihovny zahrnující LoRaWAN protokol jsou použity open source knihovny pro šifrování, tiny-AES128-C [52] pro zašifrování payloadu a openpana [53] pro vytvoření CMAC (Cipher-based Message Authentication Code)

Do non-volatile paměti je ukládána konfigurace a adresa a typ všech koncových zařízení senzorové sítě. Jako non-volatile paměť je zde využita EEPROM (Electrically Erasable Programmable Read-Only Memory) o velikosti 6144 B. Paměť je tedy rozdělena tak, že od adresy 0 až po adresu 6080 je prostor pro ukládání LoRaWAN zařízení a od 6080 až po adresu 6144 je prostor pro ukládání konfigurace gatewaye. Každé LoRaWAN zařízení v síti má v paměti uložené LoRaWAN device address (4 byty), typ zařízení (1 byte) a další 3 byty jsou rezervovány. Jedno koncové zařízení v paměti tedy zabírá 8 B, takže gateway má kapacitu paměti pro 760 koncových zařízení. Ukládaná konfigurace obsahuje parametry v tabulce 4.5 má celkovou velikost 37 B, na konfiguraci je vyhrazeno 64 B, tudíž je zde rezerva 27 B.

Název podprogramu	Popis
LoRa	Knihovna zahrnující komunikaci s transceiverem RFM95W po rozhraní SPI, nainicializovaném v režimu komunikace LoRa
LoRaWAN_packet	Knihovna zahrnující LoRaWAN protokol, tedy dekódování a dešifrování přijatého LoraWAN paketu i vytvoření paketu pro odeslání. Tato knihovna je závislá na knihovnách aes a cmac.
LoRa_sensors	Knihovna zahrnující dekó dování payloadu podporovaných koncových zařízení a zapsání výsledných hodnot do bufferu, který je pak odeslán na kontrolní panel přes síť RS485
rs485_protocol	Podprogram zahrnující síťový protokol v síti RS485
usb	Podprogram zahrnující konfiguraci systému přes USB
eeprom	Knihovna zahrnující práci s non-volatile paměti procesoru EEPROM

Tabulka 4.3: Rozdělení programu na nezávislé podprogramy

Název podprogramu	Popis
buffer_ring	Knihovna implementující cyklický buffer o velikosti 256 B
ByteArray	Knihovna zahrnující pomocné funkce pro práci s polem bytů
LinkedList_ByteArray	Knihovna implementující linked list s neomezenou velikostí o datové struktuře pole bytů s ukládáním do části paměti heap
aes	Knihovna implementující šifrování AES-128 [52]
cmac	Knihovna pro výpočet CMAC, převzatý pouze potřebný kód z knihovny [53]

Tabulka 4.4: Dodatečné pomocné podprogramy

Po spuštění programu je nejprve inicializován mikrokontrolér, hodinový signál, GPIO, rozhraní, timery a IWDG (Independent Watchdog). Systémový hodinový signál je nakonfigurován na maximální hodnotu, což je 32 MHz. Po inicializaci mikrokontroléru je z non-volatile paměti EEPROM vyčtena a vypsána v logu aktuální konfigurace gatewaye a následuje inicializace LoRa transceiveru RFM95w dle načtené konfigurace a nakonec je vstoupeno do hlavní smyčky běhu programu, kde jsou dokola nepřetržitě zpracovávány cyklické buffery a fronty tvořeny linked listy.

Jsou zde použity 2 timery, TIM2 pro restartování procesoru a TIM3 pro

Velikost [B]	Parametr
1	Adresa gatewaye v síti RS485
1	Adresa kontrolního panelu v síti RS485
1	Doba čekání na potvrzení od kontrolního panelu v síti RS485
1	LoRa kanál
1	LoRa SF
16	LoRaWAN NwkSKey
16	LoRaWAN AppSKey

Tabulka 4.5: Parametry ukládány do non-volatile paměti gatewaye

resetování IWDG. Resetování procesoru po daném intervalu defaultně není použito, ale je implementováno a v případě potřeby je možné využít. IWDG je resetován timerem tudiž pojistku že resetuje procesor v případě že by se program zhroutil.

Komunikace s transceiverem RS485 přes LPUART1 je implementována pro vysílání v blokujícím módu a přijímání přes interrupt, kde přijatý byte je zapsán do cyklického bufferu o velikosti, který je zpracováván v hlavní smyčce běhu programu. Jelikož komunikace v síti RS485 je half-duplex a platí zde pravidlo LBT, vysílání je zde blokováno po dobu 20 ms od posledního přijatého bytu.

Komunikace s LoRa transceiverem RFM95W přes rozhraní SPI1 je implementována v blokujícím módu zápisem a čtením registrů. LoRa transceiver je nakonfigurován na kontinuální příjem na zvoleném kanále a SF, přijatý LoRa paket signalizuje zvednutím logické úrovně pinu DIO0. Toto je řešeno interrupt pinem, po jehož přerušení je vyčten přijatý LoRa paket z FIFO (First In First Out) paměti transceiveru a přidán do fronty tvořené linked listem, zpracovávané v hlavní smyčce běhu programu, kde pakety z této fronty jsou postupně dekódovány a diešifrovány, na základě typu zařízení jsou vypočteny hodnoty senzorů z payloadu a zakódovány do bufferu o délce 6 B, který je připojen do fronty tvořené linked listem, zpracovávané v hlavní smyčce běhu programu.

Komunikace přes USB přes USART2 je implementována obdobně jako komunikace v síti RS485 kde přijatá data jsou zapsána do cyklického bufferu, který je zpracováván v hlavní smyčce běhu programu, ale vysílání není blokováno během přijímání, jelikož se jedná o full-duplex.

■ 4.5.1 Komunikace přes sériovou linku USB

Gateway má implementovanou komunikaci přes sériovou linku, umožňující konfiguraci a log. K připojení lze použít PC s libovolnou aplikací umožňující odesílání a přijímání dat zakódovaných ASCII (American Standard Code for Information Interchange) po sériové lince s nastavením parametrů dle tabulky 4.6.

Parametr	Hodnota
Baud rate	115200
Data bits	8
Parity	none
Stop bits	1
Flow control	none

Tabulka 4.6: Parametry sériové linky PC terminálu pro komunikaci s gatewayí

Při komunikaci jsou data oddělována bytem CR (carriage return) 0x0D, ale je akceptována i sekvence CR LF (Line Feed), tedy 0x0D 0x0A v hexadecimálním tvaru.

4.6 Log Gateways

Po připojení ke gatewayi přes sériovou linku dle instrukcí v sekci Komunikace přes sériovou linku USB je možné kontinuálně snímat a log gatewaye obsahující informace o proběhlých událostech. Je-li gateway v normálním pracovním režimu, loguje informace automaticky přes sériovou linku a komunikace je zde pouze jednosměrná, tedy gateway vysílá a PC přijímá. Níže je příklad výpisu logu v případě, kdy gateway přjala LoRaWAN paket z koncového zařízení senzorové sítě, zpracovala ho a výslednou informaci odeslala na kontrolní panel přes RS485 síť.

```
Rx -> LoRaWAN, pktCntr: 6
RSSI: -51, SNR: 9, length: 22

Message type: Unconfirmed Data Up
Packet rawData: "40F61F0128C0D62508D970CB071595D115BAC68F6663"
Device Address: "F61F0128"
FCnt: 9686
message (encrypted): "D970CB071595D115BA"
MHDR: 40; FCtrl: C0; FPort: 08; MIC: "C68F6663"
adaptive data rate: true; ack: false
message HEX (decrypted): "013566779600FFFFAF"

Sensor type: RHF1S001
temperature: 23.30 C, humidity: 52 %
period: 300 s, RSSI: -51 dBm, SNR: 9 dB, battery voltage: 3.2 V
Tx -> RS-485: "FF1F100D00D0F61F01281A0934CDFFFF09202E"

Rx -> RS-485: "AA1FFF060000E6"
ACK
```

Nejprve jsou vypsány data týkající se LoRaWAN protokolu, zašifrovaný i dešifrovaný datový obsah (payload) koncového zařízení, typ zařízení a výsledné hodnoty dekódované z payloadu.

4.7 Konfigurace gatewaye

Konfigurace gatewaye se provádí obousměrnou komunikací po sériové lince s připojením dle instrukcí v sekci Komunikace přes sériovou linku USB. Po spuštění je gateway v normálním pracovním režimu, přeposílá tedy pakety ze senzorové sítě přes RS485 síť na kontrolní panel a informace loguje přes sériovou linku. Po vstoupení do stavu konfigurace je pozastavena činnost gatewaye, komunikace s koncovými zařízeními LoRaWAN sítě a komunikace s kontrolním panelem v síti RS485 nejsou aktivní. Do režimu konfigurace je vstoupeno odesláním "config", následuje vypsání současného stavu konfigurace a následně uživatel postupuje zadáním čísla pro výběr možnosti z menu či konkrétního parametru dle vyzvání. Z konfigurace je možné vystoupit kdykoliv

bez uložení změn příkazem "quit". Procházení jednotlivými menu je navrženo jednoduše tak, aby uživatel nepotřeboval dokumentaci a aby zde vždy bylo uvedeno dost informací pro srozumitelnost. Níže je zobrazen příklad výpisu po vstupu do konfigurace obsahující informaci o aktuální konfiguraci a hlavní konfigurační menu.

```
----- Entering configuration setup -----
System configuration:
*** LoRa channel:
channel: 0 (868.1 Mhz)
SF7

*** RS485 channel:
my address: 10
master address: FF
timeout: 3 s

*** LoRaWAN keys:
NwSKey: FD 90 0D 8C 70 9F 19 24 18 EC FD D4 28 0C AC 47
AppSKey: 68 9F D0 AC 7A 0F 95 58 B1 19 A0 16 17 F4 16 33

Config menu:
1 -> Config LoRa channel
2 -> Config RS485 channel
3 -> Config LoRaWAN protocol
4 -> Print all LoRaWAN devices
5 -> Erase all LoRaWAN devices
6 -> Restore to default configuration
7 -> Exit without save
8 -> Save and exit
```

Jsou zde tedy tři sekce konfigurace, LoRa kanál, RS485 kanál a parametry LoRaWAN protokolu. Dále jsou zde další možnosti hlavně pro diagnostické účely, a to možnost ručně přidat LoRaWAN koncové zařízení a vymazání všech koncových zařízení, ačkoliv je to obvykle prováděno ze serveru řízení přístupu, a navrácení stavu gatewaye do defaultního stavu. Dále jsou zde možnosti vystoupení z menu s či bez uložení změn, tedy zapsání nově nakonfigurovaných parametrů do non-volatile paměti.

Při procházení jednou ze tří možných konfigurací je vždy pro každý parametr vypsáno jaká data mají být uživatelem zadána v jakém tvaru a zároveň současnou hodnotu měněného parametru. Zadaná data uživatelem jsou vždy zkонтrolována zda splňují požadovaný tvar. Pokud ne, uživateli je o tom informován a vyzván k dalšímu pokusu. Pokud uživateli některý parametr nehodlá měnit, přeskočí ho odesláním ASCII znaku LF (0x0D) u většiny terminálových aplikací stačí pouze stisknout na klávesnici Enter. Po provedení

některé konfigurace následuje vždy návrat zpět do hlavního menu. Pro uložení nové konfigurace je potřeba v menu vybrat "Save and exit", gateway pak následně vypíše které parametry byly změněny a provede restart. Pokud je vybráno "Exit without save", gateway se pouze restartuje.

■ Konfigurace LoRa kanálu

Položka v menu pod názvem "Config LoRa channel" zahrnuje nastavení SF, tedy přenosovou rychlosť a frekvenční kanál. Níže je příklad konfigurace.

LoRa channel configuration:

Enter SF number (7–12)
 (current: 7)
 8
 SF8 set.

Enter LoRa channel number (0–7)

ch0 is 868.1 Mhz
 ch1 is 868.3 Mhz
 ch2 is 868.5 Mhz
 ch3 is 867.1 Mhz
 ch4 is 867.3 Mhz
 ch5 is 867.5 Mhz
 ch6 is 867.7 Mhz
 ch7 is 869.0 Mhz
 (current: 0)
 1
 channel 1 set.

■ Konfigurace RS485 kanálu

Položka v menu pod názvem "Config RS485 channel" zahrnuje nastavení adresy gatewaye, tedy tohoto zařízení, adresy kontrolního panelu a timeout, což je doba čekání na potvrzení od kontrolního panelu po odeslání příkazu "průchod". Níže je příklad konfigurace.

RS485 channel configuration:

Enter address of this device, FF and 00 are reserved.
 (current: 10)
 11
 Address of this device is set to: 11

Enter master address:

(current: FF)
 FE
 Master address is set to: FE

Enter timeout (seconds)

(current: 3)
 5
 timeout set to: 5 s

■ Konfigurace LoRaWAN protokolu

Položka v menu pod názvem "Config LoRaWAN protocol" zahrnuje nastavení šifrovacích klíčů NwkSKey a AppSKey. Níže je příklad konfigurace.

```
LoRaWAN protocol configuration:
Enter NwkSKey (16 bytes in HEX)
(current: FD 90 0D 8C 70 9F 19 24 18 EC FD D4 28 0C AC 47)
1111111222222233333344444444
NwSKey set to: 11 11 11 11 22 22 22 22 33 33 33 33 44 44 44 44

Enter AppSKey (16 bytes in HEX)
(current: 68 9F D0 AC 7A 0F 95 58 B1 19 A0 16 17 F4 16 33)
1111111222222233333344444444
AppSKey set to: 11 11 11 11 22 22 22 22 33 33 33 33 44 44 44 44
```

■ Print all LoRaWAN devices

Vypíše všechna LoRaWAN zařízení uložená v paměti. Níže je příklad.

```
number .....0:
Device Address: B1 C4 12 00
Device Type: RH1S001
number .....1:
Device Address: B2 C4 12 00
Device Type: RH1S001
number .....2:
Device Address: B3 C4 12 00
Device Type: RH1S001
number .....3:
Device Address: B4 C4 12 00
Device Type: IMA_tempPress
number .....4:
Device Address: B5 C4 12 00
Device Type: IMA_tempPress
```

■ Restore default configuration

Po zvolení této možnosti je načtena defaultní konfigurace systému, která obsahuje hodnoty viz tabulka 4.7. Tyto defaultní hodnoty jsou nastaveny v programu a slouží především pro testovací účely.

popis	hodnota
RS485 myAddr	0x10
RS485 MasterAddr	0xFF
RS485 timeout	3
LoRa SF	SF7
LoRa channel	0 (868.1 Mhz)
NwSKey	FD 90 0D 8C 70 9F 19 24 18 EC FD D4 28 0C AC 47
AppSKey	68 9F D0 AC 7A 0F 95 58 B1 19 A0 16 17 F4 16 33

Tabulka 4.7: Defaultní konfigurace systému

4.8 Podpora koncových zařízení

Jak již bylo zmíněno v sekci , z důvodu datového omezení protokolu sítě RS485 jsou LoRaWAN pakety koncových zařízení dekódovány v gatewayi a z datového obsahu (payloadu) vypočítány konečné hodnoty dle dokumentace daného LoRaWAN zařízení a přes síť RS485 na kontrolní panel jsou odesány pouze vybraná data. Gateway má pro každé koncové zařízení uloženou 4 byty dlouhou adresu a 1 byte typ zařízení. Momentálně jsou podporovány dva typy koncových zařízení, dle potřeby je možné rozšířit FW gatewaye o další typy koncových zařízení. Tabulka 4.8 ukazuje hodnotu bytu označující typ koncového zařízení odpovídající konkrétním typům koncových zařízení.

Typ zařízení	Hodnota
RHF1S001	0x00
IMA_tempPress	0x01

Tabulka 4.8: Typy koncových zařízení

Níže je popsáno pro jednotlivá podporovaná koncová zařízení jak jsou data uložena v datové struktuře, jak jsou data z této struktury zpracována a zobrazena a nakonec jak vybraná data jsou zapsána do výsledného bufferu o délce 6 B, který je odeslán přes síť RS485 příkazem "průchod".

RHF1S001

Senzor od firmy RisingHF měřící teplotu a vlhkost [40].

```

1  /* RHF1S001 data structure */
2  typedef struct {
3      int16_t temperature;
4      uint8_t humidity;
5      uint16_t period;
6      int8_t rssi ;
7      int8_t snr;
8      uint8_t battery;
9  } RHF1S001_data_t;
10

```

4.9. Přidávání koncových zařízení ze serveru řízení přístupu

```
11  /* Print the data from the structure */
12  printf("temperature: %d.%d C, ", RHF1S001_data.temperature / 100,
13      RHF1S001_data.temperature % 100);
14  printf("humidity: %d %%\n", RHF1S001_data.humidity);
15  printf("period: %d s, ", (int)RHF1S001_data.period);
16  printf("RSSI: %d dBm, ", RHF1S001_data.rssi);
17  printf("SNR: %d dB, ", RHF1S001_data.snr);
18  printf("battery voltage: %d.%d V\r\n", RHF1S001_data.battery/10,
19      RHF1S001_data.battery % 10);
20
21  /* Put the data into 6 B long buffer, to be transmitted to the control panel */
22  buffer [0] = RHF1S001_data.temperature & 0xFF;
23  buffer [1] = RHF1S001_data.temperature >> 8;
24  buffer [2] = RHF1S001_data.humidity;
25  buffer [3] = RHF1S001_data.rssi;
26  buffer [4] = RHF1S001_data.snr;
27  buffer [5] = RHF1S001_data.battery;
```

IMA_tempPress

Senzor vytvořený ve firmě IMA, měřící teplotu a tlak.

```
1  /* IMA_tempPress data structure */
2  typedef struct {
3      int16_t temperature;
4      uint16_t pressure;
5      int8_t rssi ;
6      int8_t snr;
7  } IMA_tempPress_data_t;
8
9  /* print the data from the structure */
10 printf("temperature: %d.%d C, ", IMA_tempPress_data.temperature / 100,
11     IMA_tempPress_data.temperature % 100);
12 printf("pressure: %d.%d Pa\r\n", IMA_tempPress_data.pressure/10,
13     IMA_tempPress_data.pressure % 10);
14 printf("RSSI: %d dBm, SNR: %d dB\r\n", IMA_tempPress_data.rssi,
15     IMA_tempPress_data.snr);
16
17  /* Put the data into 6B long buffer, that is transmitted to the K4 server */
18  buffer [0] = IMA_tempPress_data.temperature & 0xFF;
19  buffer [1] = IMA_tempPress_data.temperature >> 8;
20  buffer [2] = IMA_tempPress_data.pressure & 0xFF;
21  buffer [3] = IMA_tempPress_data.pressure >> 8;
22  buffer [4] = IMA_tempPress_data.rssi;
23  buffer [5] = IMA_tempPress_data.snr;
```

4.9 Přidávání koncových zařízení ze serveru řízení přístupu

Přidávání koncových zařízení senzorové sítě se provádí z uživatelského rozhraní serveru řízení přístupu stejně jako přidávání platných RFID karet, s

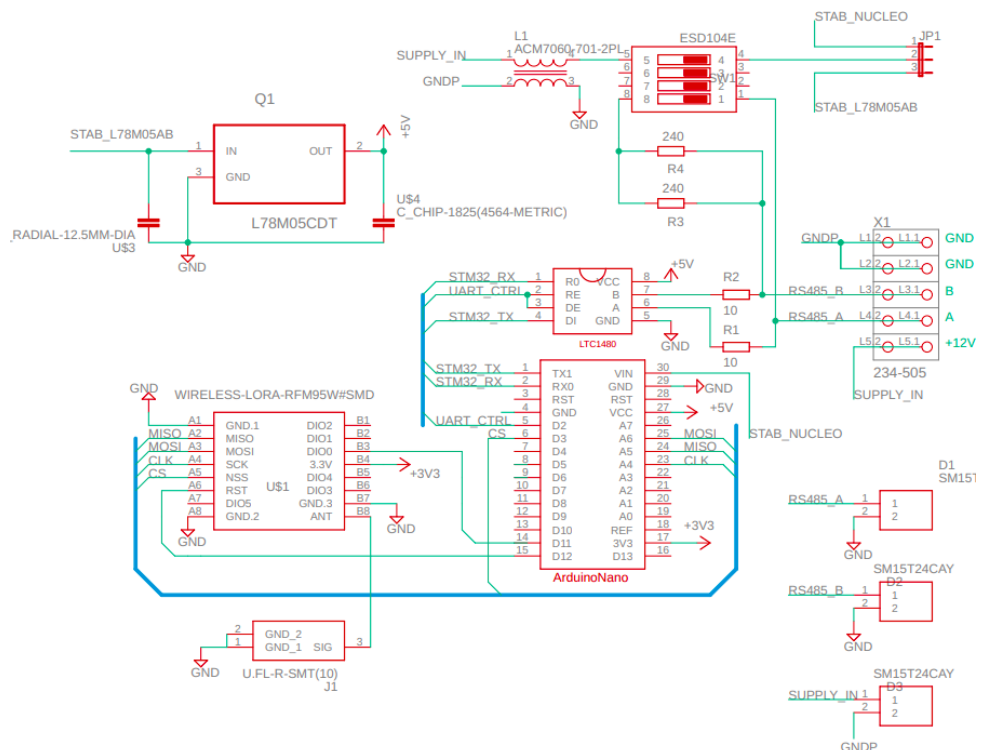
délkou UID 8 B. Adresa koncového zařízení (LoRaWAN device address) je dlouhá 4 B, jeden byte je navíc použit pro typ koncového zařízení, zbylé 3 byty jsou nuly. Jelikož typ zařízení je uložen v gatewayi i na serveru řízení přístupu. Při odesílání příkazu "průchod" se tedy už typ zařízení neposílá z důvodu omezené velikosti tohoto příkazu. Na serveru řízení přístupu se UID nastavuje jako dekadické číslo.

Příklad

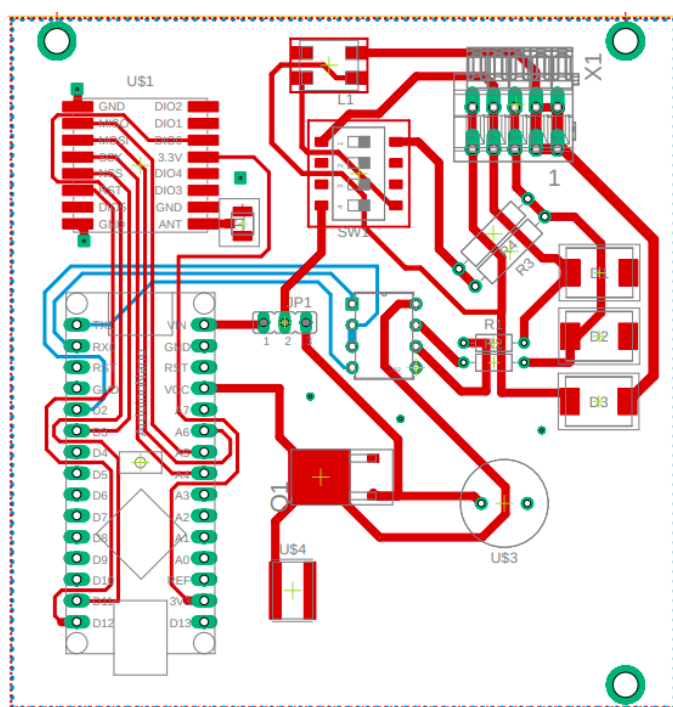
Pro případ, kde typ zařízení je 01 a DevAddr AABBCCDD (little endian) výsledné číslo v hexadecimální podobě je 01DDCCBAA. Následně se překládá do decimalní podoby, výsledné číslo k zadání do uživatelského rozhraní serveru řízení přístupu je tedy 8016149418.

4.10 Návrh WSN gatewaye verze 2

Pro lepší mechanické uspořádání byla navržena verze 2, kde je použit i jiný vývojový kit NUCLEO-L432KC s procesorem STM32L432KC, který je výkonnější. Navíc je zde přidán externí stabilizátor, napěťový filtr, přepínačem volitelné impedanční zakončení sítě RS485 a proudové ochrany.



Obrázek 4.4: Návrh WSN gatewaye verze 2 - schéma



Obrázek 4.5: Návrh WSN gatewaye verze 2 - plošný spoj

Kapitola 5

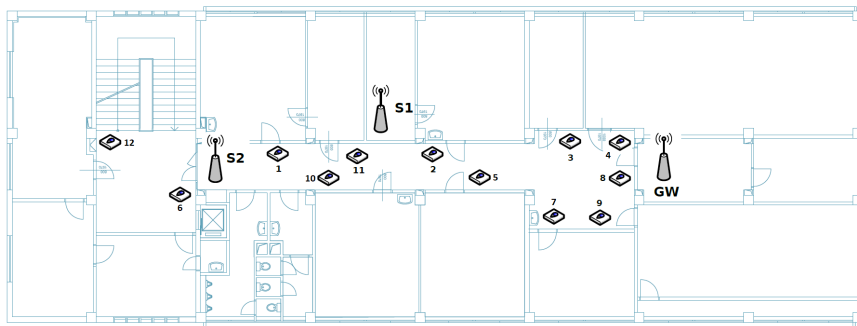
Testování navrženého řešení

Tato kapitola zahrnuje testování navržené gatewaye senzorové sítě viz. kapitola 4, napojené přes síť RS485 na infrastrukturu přístupového systému firmy IMA v univerzitní budově univerzity ČVUT za reálného provozu s připojenými koncovými zařízeními senzorové sítě, které souběžně odesílají data. Ze zachyceného provozu dat v síti RS485 je odhadnut maximální počet připojených koncových zařízení souběžně odesílající data v senzorové síti při zachování správné funkce přístupového systému.

Testování je provedeno v jednom bloku patra univerzity, kde je do jednoho kontrolního panelu připojeno dvanáct CKP zařízení přes síť RS485. Každé z nich ovládá jedny dveře, tedy jednu čtečku a dveřní zámek. Do této sítě RS485 je navíc připojena navržená gateway jako třinácté CKP zařízení. K této navržené gatewayi senzorové sítě jsou připojena dvě koncová zařízení typu RHF1S001, dostupné na trhu, vyrobené firmou RisingHF, obsahující senzory teploty a vlhkosti. Pro tento test jsou nakonfigurovány k odesílání dat ze senzorů s intervalom 5 minut.

Gateway a CKP zařízení jsou zapojena dle blokového schematu v obrázku 4.1. Konkrétní rozmístění stávajících dvanácti CKP zařízení, gatewaye a dvou koncových zařízení senzorové sítě v testovaných prostorách budovy je zobrazeno v obrázku 5.1.

Testování probíhalo od 21. září do 31. října, tedy v době přítomnosti studentů a zaměstnanců v testovaných prostorách. Po tuto dobu testování byly zaznamenávány přenášené pakety sítě RS485, kontrolní panel přijal 1 876 978 paketů (14 074 522 B) a odeslal 1 101 556 paketů (8 295 219 B), dohromady tedy 2 978 534 paketů (22 369 741 B). Z naměřených hodnot byla provedena metoda frekvenční analýzy. Z přenesených paketů byly nejdělsí 3 o velikosti 40 bytů. S ohledem na celkové množství paketů je to zanedbatelné množství, tj. 1,3E-04 %. Avšak vzhledem k povaze systému, tedy systému s



Obrázek 5.1: Rozmístění koncových zařízení sítě a zařízení CKP v testovaných prostorách budovy

primární funkcí řízení přístupu do omezených oblastí, se za nejhorší scénář považuje nepřekonatelný limit.

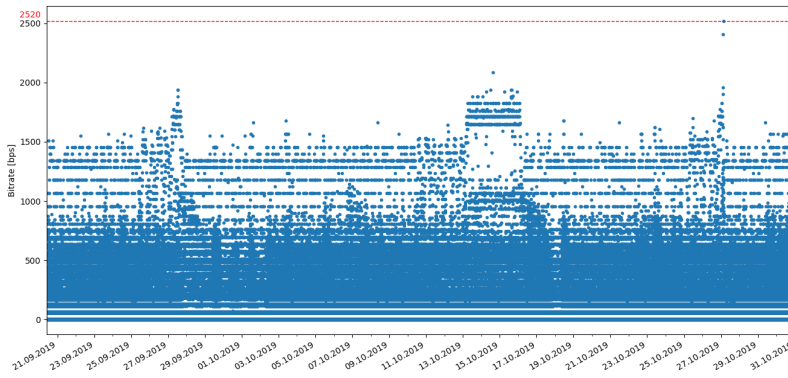
Maximální počet koncových zařízení připojených ke gatewayi při kterém není ovlivněn stávající přístupový systém je možné vypočítat z rychlosti přenosu dat v síti RS485. Tato rezerva rychlosti přenosu dat je uvažována za účelem ochrany přístupového systému před dysfunkcí nebo poruchou, například před dlouhým čekáním na otevření dveří.

Packet length	Count
7	2 216 098
8	619 127
9	3
11	58 393
13	58 620
16	1
18	2
19	26 286
23	1
40	3

Tabulka 5.1: Frekvenční analýza délky paketu

Na základě frekvenční analýzy uvedené v tabulce 5.1 a IMA know-how, pakety přenášející data z koncových zařízení jsou dlouhé 19 bytů a pakety potvrzení IMA protokolu jsou dlouhé 7 bytů. Alespoň dva pakety jsou potřeba k přenesení dat z koncových zařízení přes síť RS485, tj. paket s daty koncového zařízení a paket potvrzení.

V obrázku 5.2 jsou dvě důležité charakteristiky, maximální délka paketu (červená přerušovaná čára) a medián délky paketu (červená nepřerušovaná čára), určeny frekvenční analýzou v tabulce 5.1. Průměrné zatížení provozu kanálu sítě RS485 je 6,38 pps, tj. 0,85 Bps.



Obrázek 5.2: Měřená rychlosť prenosu dat [bps] v síti RS485 během doby testování

Z testování provozu jsou zachyceny délky přenášených paketů (l) s časovou přesností na tisícinu sekundy. Údaje o čase jsou převedeny na jednotky sekund pomocí funkce sum, aby byly získány data jako bitová rychlosť v bitech za sekundu (bps). V obrázku 5.2 červená přerušovaná čára s hodnotou 2520 bps ukazuje jeden sekundový interval ve kterém součet přenesených paketů v síti RS485. Na základě podrobných znalostí protokolu IMA se ukazuje, že je využito méně než 20% kapacity sítě RS485.

Aby bylo zabráněno přetížení sítě RS485, maximální počet koncových zařízení připojených ke gatewayi S_{MAX} je možné vypočítat vztahem:

$$S_{MAX} = \frac{\frac{v_{485}}{B} - R}{P} \quad (5.1)$$

kde:

- v_{485} rychlosť prenosu dat v síti RS485 [bps]
- B počet bitů v bytu (pro přepočítání rychlosti prenosu dat na byty)
- l_{MAX} maximální délka paketu
- R rezerva rychlosť prenosu dat [%]
- P počet paketů k přenesení dat z koncového zařízení

S ohledem na výše uvedené limity, navržené rezervy a rychlosť prenosu dat v síti RS485 je vypočítán maximální počet koncových zařízení senzorové sítě, které souběžně odesílají data přes síť RS485 viz. tabulka 5.2.

Použité hodnoty pro výpočet jsou:

v_{485} = RS485 network data rate

B = 8

$l_{MAX} = 40$

P = 2

RS485 rychlosť prenosu dat v_{485} [bps]	Rezerva R			
	0 %	10 %	20 %	30 %
1200	1	1	1	1
2400	3	3	3	2
4800	7	6	6	5
9600	15	13	12	10
19200	30	27	24	21
38400	60	54	48	42
57600	90	81	72	63
115200	180	162	144	126
230400	360	324	288	252
460800	720	648	576	504
921600	1440	1296	1152	1008

Tabuľka 5.2: Maximálny počet pripojených koncových zařízení v senzorovej sítí souběžně odesílající data skrze síť RS485 s určitou rezervou

Např. v senzorové sítí může být až 162 koncových zařízení pripojených ke gateway, která je napojena na síť RS485 s prenosovou rychlosťou 115200 bps a rezervou 10 % nebo 126 koncových zařízení s prenosovou rychlosťou 115200 bps a rezervou 30 %. Tento výsledek ukazuje, že jeden blok patra univerzity, tj. jedna síť RS485 je schopna fungovať s desítkami koncovými zařízeními senzorové sítě souběžně vysílající data s dostatečnou rezervou chránící přístupový systém.

Kapitola 6

Závěr

V této práci jsou diskutovány podmínky rozšíření stávajícího systému řízení přístupu pracujícího v průmyslově standardizované síti RS485 s bezdrátovou senzorovou sítí založenou na jednokanálovém režimu LoRaWAN.

Literatura

- [1] H. Ali, W. Y. Chew, F. Khan and S. R. Weller, "Design and implementation of an IoT assisted real-time ZigBee mesh WSN based AMR system for deployment in smart cities," *2017 IEEE International Conference on Smart Energy Grid Engineering (SEGE)*, Oshawa, ON, 2017, pp. 264-270. [Online]. Available: <https://ieeexplore.ieee.org/stamp/stamp.jsp?tp=&arnumber=8052810> [Accessed: 9-Sep-2019].
- [2] T. Malche and P. Maheshwary, "Internet of Things (IoT) for building smart home system," *2017 International Conference on I-SMAC (IoT in Social, Mobile, Analytics and Cloud) (I-SMAC)*, Palladam, 2017, pp. 65-70. [Online]. Available: <https://ieeexplore.ieee.org/stamp/stamp.jsp?tp=&arnumber=8058258> [Accessed: 9-Sep-2019].
- [3] K. Mekki, E. Bajic, F. Chaxel and F. Meyer, "A comparative study of LPWAN technologies for large-scale IoT deployment". *ICT Express*, vol. 5, no. 1, March 2019. [Online]. Available: <https://www.sciencedirect.com/science/article/pii/S2405959517302953> [Accessed: 9-Sep-2019].
- [4] M. Centenaro, L. Vangelista, A. Zanella and M. Zorzi, "Long-range communications in unlicensed bands: the rising stars in the IoT and smart city scenarios," in *IEEE Wireless Communications*, vol. 23, no. 5, pp. 60-67, October 2016. [Online]. Available: <https://ieeexplore.ieee.org/stamp/stamp.jsp?tp=&arnumber=7721743> [Accessed: 9-Sep-2019].
- [5] A. Lavric and A. Ioan Petrariu, "High-Density Low Power Wide Area Networks," *2018 10th International Conference on Electronics, Computers and Artificial Intelligence (ECAI)*, Iasi, Romania, 2018, pp. 1-4. [Online]. Available: <https://ieeexplore.ieee.org/stamp/stamp.jsp?tp=&arnumber=8678997> [Accessed: 9-Sep-2019].
- [6] A. Kosari and D. D. Wentzloff, "MURS Band for LPWAN Applications," *2019 IEEE Topical Conference on Wireless Sensors and Sensor Networks (WiSNet)*, Orlando, FL, USA, 2019, pp. 1-3.

- [Online]. Available: <https://ieeexplore.ieee.org/stamp/stamp.jsp?tp=&arnumber=8711814> [Accessed: 9-Sep-2019].
- [7] KRANZ, Maciej. The Internet of Things: 5 Predictions for 2018. CISCO: blog [Online]. Available: <https://blogs.cisco.com/innovation/the-internet-of-things-5-predictions-for-2018> [Accessed: 9-Sep-2019].
- [8] R. F. Fernandes, C. C. Fonseca, D. Brandão, P. Ferrari, A. Flammini and A. Vezzoli, "Flexible Wireless Sensor Network for smart lighting applications," 2014 IEEE International Instrumentation and Measurement Technology Conference (I2MTC) Proceedings, Montevideo, 2014, pp. 434-439. [Online]. Available: <https://ieeexplore.ieee.org/stamp/stamp.jsp?tp=&arnumber=6860782> [Accessed: 9-Sep-2019].
- [9] W. Huiyong, W. Jingyang and H. Min, "Building a Smart Home System with WSN and Service Robot," 2013 Fifth International Conference on Measuring Technology and Mechatronics Automation, Hong Kong, 2013, pp. 353-356. [Online]. Available: <https://ieeexplore.ieee.org/stamp/stamp.jsp?tp=&arnumber=6493740> [Accessed: 9-Sep-2019].
- [10] Luo Hui, "A meter reading system based on WSN," 2010 International Conference on Optics, Photonics and Energy Engineering (OPEE), Wuhan, 2010, pp. 311-314. [Online]. Available: <https://ieeexplore.ieee.org/stamp/stamp.jsp?tp=&arnumber=5508121> [Accessed: 9-Sep-2019].
- [11] M. J. Mudumbe and A. M. Abu-Mahfouz, "Smart water meter system for user-centric consumption measurement," 2015 IEEE 13th International Conference on Industrial Informatics (INDIN), Cambridge, 2015, pp. 993-998. [Online]. Available: <https://ieeexplore.ieee.org/stamp/stamp.jsp?tp=&arnumber=7281870> [Accessed: 9-Sep-2019].
- [12] R. K. Kodali, "Radio data infrastructure for remote monitoring system using lora technology," 2017 International Conference on Advances in Computing, Communications and Informatics (ICACCI), Udupi, 2017, pp. 467-472. [Online]. Available: <https://ieeexplore.ieee.org/stamp/stamp.jsp?tp=&arnumber=8125884> [Accessed: 9-Sep-2019].
- [13] N. Shah and P. S. Sundar, "Smart Electric Meter Using LoRA Protocols and lot applications," 2018 Second International Conference on Electronics, Communication and Aerospace Technology (ICECA), Coimbatore, 2018, pp. 1178-1180. [Online]. Available: <https://ieeexplore.ieee.org/stamp/stamp.jsp?tp=&arnumber=8474749> [Accessed: 9-Sep-2019].
- [14] C. Yoon, M. Huh, S. Kang, J. Park and C. Lee, "Implement smart farm with IoT technology," 2018 20th International Conference on Advanced Communication Technology (ICACT), Chuncheon-si Gangwon-do, Korea (South), 2018, pp. 749-752. [Online]. Available: <https://ieeexplore.ieee.org/stamp/stamp.jsp?tp=&arnumber=8323908> [Accessed: 9-Sep-2019].

- [15] Know about Access Control Systems and Their Types with Features. *Electronics projects focus* [Online]. Available: <https://www.elprocus.com/understanding-about-types-of-access-control-systems/> [Accessed: 9-Sep-2019].
- [16] *RF*. IQRF Alliance. [Online]. Available: <https://www.iqrf.org/technology/rf> [Accessed: 9-Jun-2018].
- [17] *RF*. IQRF Alliance. [Online]. Available: <https://www.iqrf.org/technology/iqrf-ide> [Accessed: 9-Jun-2018].
- [18] *IQRF SDK*. IQRF Alliance. [Online]. Available: <https://www.iqrf.org/technology/iqrf-sdk> [Accessed: 9-Jun-2018].
- [19] *Transceivers*. IQRF Alliance. [Online]. Available: <https://www.iqrf.org/products/transceivers> [Accessed: 9-Jun-2018].
- [20] *Three security levels in new IQRF OS 4.0*. IQRF Alliance. [Online]. Available: <https://www.iqrfalliance.org/news/117-three-security-levels-in-new-iqrf-os-4-0> [Accessed: 9-Jun-2018].
- [21] [Online]. Available: <https://ieeexplore.ieee.org/stamp/stamp.jsp?tp=&arnumber=8399666> [Accessed: 9-Sep-2019].
- [22] [Online]. Available: https://ec.europa.eu/eip/ageing/standards/ict-and-communication/data/en-13757_en [Accessed: 2-Apr-2020].
- [23] [Online]. Available: <https://automatizace.hw.cz//sbernice-wireless-mbus-jde-i-bezdratove> [Accessed: 9-Jun-2018].
- [24] *Wireless Meter Bus, WM-Bus Technology*. Radio-Electronics. [Online]. Available: <http://www.radio-electronics.com/info/wireless/wireless-m-bus/basics-tutorial.php> [Accessed: 9-Jun-2018].
- [25] *Wireless M-Bus in Industrial Wireless Sensor Networks*. Radiocrafts. [Online]. Available: <https://radiocrafts.com/technologies/wireless-m-bus-technology-overview/> [Accessed: 9-Jun-2018].
- [26] Silicon labs: *WIRELESS M-BUS SOFTWARE IMPLEMENTATION*. [Online]. Available: <https://www.silabs.com/documents/public/application-notes/AN451.pdf> [Accessed: 9-Jun-2018].
- [27] Compass security: *Wireless M-Bus Security Whitepaper Black Hat USA 2013*. June 30th. 2013, v1.01. [Online]. Available: https://www.compass-security.com/fileadmin/Datein/Research/Praesentationen/blackhat_2013_wmbus_security_whitepaper.pdf [Accessed: 9-Jun-2018].

- [29] *The Zigbee Alliance*. Zigbee alliance. [Online]. Available: <http://www.zigbee.org/zigbee-for-developers/about-us/> [Accessed: 9-Jun-2018].
- [30] *The Zigbee Alliance*. Zigbee alliance. [Online]. Available: <https://zigbeealliance.org/solution/zigbee/> [Accessed: 9-Jun-2018].
- [31] *BLE Packet*. [Online]. Available: <https://www.bluetooth.com/learn-about-bluetooth/bluetooth-technology/radio-versions/> [Accessed: 9-Jun-2018].
- [32] *BLE Packet*. [Online]. Available: <https://blog.nordicsemi.com/getconnected/things-you-should-know-about-bluetooth-range> [Accessed: 9-Jun-2018].
- [33] LoRa Alliance, "LoRaWAN 1.1 Specification", version 1.1, October 11, 2017 [Online]. Available: https://lora-alliance.org/sites/default/files/2018-04/lorawantm_specification_v1.1.pdf [Accessed: 9-Sep-2019].
- [34] N. H. Abd Rahman, Y. Yamada, M. H. Husni and N. H. Abdul Aziz, "Analysis of Propagation Link for Remote Weather Monitoring System through LoRa Gateway," *2018 2nd International Conference on Telematics and Future Generation Networks (TAFGEN)*, Kuching, 2018, pp. 55-60. [Online]. Available: <https://ieeexplore.ieee.org/stamp/stamp.jsp?tp=&arnumber=8580479> [Accessed: 9-Sep-2019].
- [40] RisingHF, "Outdoor IP64 Temperature and Humidity LoRaWAN sensor RHF1S001", version 1.2, 2015 [Online]. Available: http://www.objenious.com/wp-content/uploads/2016/10/RHF-DS015880utdoor-IP64-Temprature-and-Humidity-LoRaWAN-Sensor-RHF1S001_V1.3.pdf [Accessed: 9-Sep-2019].
- [41] *NUCLEO-L073RZ*. ST Microelectronics [Online]. Available: <https://www.st.com/en/evaluation-tools/nucleo-1073rz.html> [Accessed: 20-Sep-2019].
- [42] *RFM95/96/97/98(W) - Low Power Long Range Transceiver Module*. HopeRF electronic. V1.0. [Online]. Available: <https://www.hoperf.com/modules/lora/RFM95.html> [Accessed: 20-Sep-2019].
- [43] *Lora Shield*. Dragino. [Online]. Available: http://wiki.dragino.com/index.php?title=Lora_Shield [Accessed: 20-Sep-2019].
- [44] *SparkFun Transceiver Breakout - RS-485*. Sparkfun. [Online]. Available: <https://www.sparkfun.com/products/10124> [Accessed: 20-Sep-2019].
- [45] *NUCLEO-L073RZ* ARM Mbed. [Online]. Available: <https://os.mbed.com/platforms/ST-Nucleo-L073RZ/> [Accessed: 20-Sep-2019].

- [46] [Online]. Available: <https://www.st.com/en/development-tools/stm32cubemx.html> [Accessed: 20-Sep-2019].
- [47] [Online]. Available: <https://code.visualstudio.com/> [Accessed: 20-Sep-2020].
- [48] [Online]. Available: <https://developer.arm.com/tools-and-software/open-source-software/developer-tools.gnu-toolchain/gnu-rm/downloads> [Accessed: 20-Sep-2020].
- [49] [Online]. Available: <https://www.gnu.org/software/make/manual/make.html> [Accessed: 20-Sep-2019].
- [50] [Online]. Available: <https://github.com/texane/stlink> [Accessed: 20-Sep-2019].
- [51] [Online]. Available: <https://marketplace.visualstudio.com/items?itemName=marus25.cortex-debug> [Accessed: 20-Sep-2019].
- [52] *tiny-AES128-C* bitdust. [Online]. Available: <https://github.com/bitdust/tiny-AES128-C> [Accessed: 20-Sep-2019].
- [53] *openpana*. OpenPANA. [Online]. Available: <https://github.com/OpenPANA/openpana> [Accessed: 20-Sep-2019].
- [119] Robert Miller. *LoRa Security Building a Secure LoRa Solution*. MWR Labs Whitepaper. [Online]. Available: <https://labs.mwrinfosecurity.com/assets/BlogFiles/mwri-LoRa-security-guide-1.2-2016-03-22.pdf> [Accessed: 20-Sep-2019].
- [1110] [Online]. Available: <https://www.elprocus.com/understanding-about-types-of-access-control-systems/> [Accessed: 9-Sep-2019].
- [1111] [Online]. Available: <https://ieeexplore.ieee.org/stamp/stamp.jsp?tp=&arnumber=8678997> [Accessed: 9-Sep-2019].
- [1112] [Online]. Available: <https://blogs.cisco.com/innovation/the-internet-of-things-5-predictions-for-2018> [Accessed: 9-Sep-2019].
- [1113] [Online]. Available: <https://ieeexplore.ieee.org/stamp/stamp.jsp?tp=&arnumber=8711814> [Accessed: 9-Sep-2019].
- [1114] [Online]. Available: <https://reader.elsevier.com/reader/sd/pii/S2405959517302953?token=1D12BD2186DD8FA9065DCE9301C63D4D2F67C3557C4677D06FCE5DBB92C96984BFCF132B6DD37ED892EAF> [Accessed: 9-Sep-2019].
- [1115] [Online]. Available: <https://ieeexplore.ieee.org/stamp/stamp.jsp?tp=&arnumber=7721743> [Accessed: 9-Sep-2019].

[1116] [Online]. Available: <https://ieeexplore.ieee.org/stamp/stamp.jsp?tp=&arnumber=8323908> [Accessed: 9-Sep-2019].

[1117] [Online]. Available: <https://ieeexplore.ieee.org/stamp/stamp.jsp?tp=&arnumber=8125884> [Accessed: 9-Sep-2019].